

SEVI 第二阶段大作业

小组分工

张震 2019012131

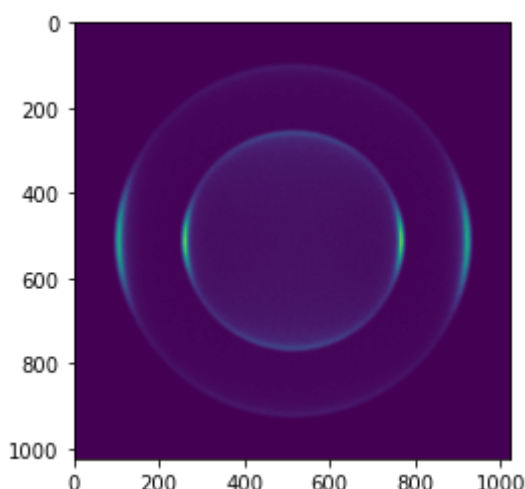
- 统计参数范围并生成用于训练集的随机参数
- 训练神经网络以将电子分布还原为生成参数
- 训练用于判断测试集中电子位置的神经网络(未使用)

鲍怏 2019011619

- 生成随机参数的电子分布训练集以用于神经网络训练
- 将目标图像转化为电子打在荧光屏上的位置
- 生成第一类训练集中的局部图像和电子位置的关系，以用于神经网络训练(未使用)

实验思路

1. 根据测试集的图像中的高斯光斑, 计算电子实际打在MCP上的位置, 统计50000张图片上的电子位置, **得到二维电子分布矩阵**, 元素为该位置总电子数, 并归一化并乘以255. 图像:



2. 实现程序,可以根据训练集的动量分布 β 和半径 R 范围, 模拟电子打在MCP上的位置, 并**生成类似于第1步的二维电子分布矩阵**
 3. 利用第2步的程序, **生成形式为"二维电子分布矩阵(输入)-动量分布(输出)"的训练集**, 预训练神经网络
 4. 将第一步结果输入到训练好的网络中, **得到初步结果**
 5. 根据初步结果, 调整第2步程序中的参数范围, **生成精调数据集**
 6. 利用上一步的数据集对模型做**fine-tuning**
 7. 利用训练好的模型, **计算最终结果**, 每个球壳生成12个参数, 共24个参数
- 初步实现但未最终使用的步骤:
 - 利用第一类训练集的高斯光斑与电子位置数据, 训练神经网络, 使之可以判断测试集中电子的正确位置
 - 使用更大或更优秀模型, 如resnet101/efficientnet(更难训练)

注意事项

1. 运行script前注意**阅读复现方法**, 可能参数不适合运行环境,
2. script中**显卡的参数**可能不适合所有环境
3. **程序会自动创建所需的文件夹**(除复现时需要自己创建param文件夹)
4. **作为最终评测的提交 (不是0.022那个提交!助教注意核验,感谢!)** :
url: <https://physics-data.meow.plus/3adbce917b58>
id: 2468

复现形式

环境

- **建议使用环境:**

```
conda env create -f environment.yaml
```

- 也可以使用pyorch11环境(可能有部分缺少的pip环境, 需要自行安装):

```
conda env create -f environment_11.yaml
```

根据训练好的模型&处理好的结果计算答案

1. **下载**模型参数, 创建并放于 param/ 目录下:
<https://cloud.tsinghua.edu.cn/f/436363d4b6e946e7844c/>
2. **下载**处理好的测试数据, 解压并放于 data/ 目录下:
<https://cloud.tsinghua.edu.cn/f/23d8a6cb004b4152b6c5/>
3. 运行

```
bash script/gen_finaltest_answer.sh
```

- 程序调用 script/gen_finaltest_npy.sh 生成的结果(上一步下载的参数)
- 在根目录下生成 final.h5 文件

从头训练

1. 处理finaltest.h5
 - 将 finaltest.h5 放于data根目录下
 - 运行

```
bash script/gen_finaltest_answer.sh
```

- 将在 data/finaltest_npy 目录下生成.npy文件, 是处理后的测试集
- 运行时间约为**40min**

2. 生成pretraining训练集
 - 运行

```
bash script/gen_traindata_pretraining.sh
```

- 默认为**10**个进程, 可以根据性能调整for循环参数
- 将生成**data/traindata**和**data/valid_data**目录存放训练和验证集
- 训练集4000, 验证集500
- 运行时间约为**20min**
- 默认参数需要**40G**空间

3. 开始预训练模型

- **运行前建议调整python第二个参数(epoch个数)**, 默认为100
 - **运行前必须根据设备显卡数调整第一行参数,**
- 运行

```
bash script/run_model.sh
```

将开始训练模型

- 模型将loss平均值和标准差数据以.npy文件存在 **data/train_loss** 和 **data/valid_loss** 目录中, **可以通过 final.ipynb 文件查看loss曲线**
- 每次重新运行会读取上次的参数, 模型参数保存在 **param** 目录中
- **100**个epoch需要**4h**
- 显卡内存需要**10G**左右, 若不足, 可以调小python后两个参数

4. 生成fine-tuning训练集

- 与生成pretraining训练集几乎一样
- 将覆盖pretraining训练集
- 运行

```
bash script/gen_traindata_fine_tuning.sh
```

- 运行时间约为**20min**

5. fine-tuning

- 与开始预训练模型完全一样
- 建议训练**40-60**个epoch, 注意多次更换训练集提升模型泛化能力

6. 生成答案

- 运行

```
bash script/gen_finaltest_answer.sh
```

- 可以调整python第二个参数选取不同阶段的模型参数(需要自己备份参数, 否则只有一个)
- 在根目录下生成 **final.h5** 文件, 用作提交

神经网络模型

ResNet34

- 模型参考ResNet¹, 使用了 **torchvision** 包中的 **resnet34** 实现

- 未使用预训练参数

模型修改

- 输入通道变为1
- 最后线性层fc变为 (512, 24), 即最后输出为24个参数, 对应两个球壳的电子动量分布前12个参数

超参数, 优化器和loss函数

- learning_rate = 0.1
- epoch:
 - pretraining: 150
 - fine-tuning: 20+20+20(每个20更换训练集)
- 优化器: Adam
- loss函数和最终评估相同

$$loss = \sum_{j=1}^2 \sqrt{\sum_{i=0}^{\infty} \frac{2}{4i+1} (pred_{ij} - label_{ij})^2} \quad (1)$$

代码逻辑

按照文件夹,字典序介绍

src

src/detect_e_position.py (未使用)

根据高斯光斑判断电子位置

- 思路: 对图片上每个像素, 根据其周围n*n的像素点, 判断该位置是否为电子真实
- 模型:
 - (3 × 3 卷积 + pooling + 激活层)*4
 - 线性层*2
 - loss函数为 BCELoss
 - 优化函数为 Adam
- 根据 f1-loss 评估模型
- 模型准确率只能达到 93%, 我们认为不能实际使用

src/gen_finaltest_answer.py

计算最后结果

- 读取处理好的测试数据(10个.npy文件), 归一化并乘以255
- 加载模型, 输入, 将结果保存为 final.h5

src/gen_finaltest_npy.py

处理测试集

- 读取 data/finaltest.h5 (测试数据)
- 根据参数, 读取指定区间图片(为了后续并行计算), 调用 util/detect_center_points.py 获得指定区间图片的二维电子分布矩阵, 并保存为10个.npy文件

src/gen_gauss_data.py (未使用)

生成"根据高斯光斑判断电子位置"模型的训练集

- 正样本: 电子真实位置附近 $n \times n$ 像素点
- 负样本: 全图像随机位置+距真实点较近的位置, 附近 $n \times n$ 像素点
- 数据保存在 data/validdata/ 和 data/traindata/ 目录

src/gen_my_beta_dist_fine_tuning.py

根据首次得到的测试集结果生成新的训练集

- 更改了参数
- 详见 src/gen_my_beta_dist.py

src/gen_my_beta_dist.py

生成训练集

- 根据测试集范围, 生成电子动量分布和半径参数并调用 util/gen_my_pic_double.py, 将返回的两个二维电子分布矩阵求和归一再乘以255, 得到一个输入数据, 为(1024, 1024)的数组
- 生成方式为:
 - 电子动量分布: 正态分布, 设置最大最小值截断
 - 半径: 均匀分布
 - 半径标准差: 均匀分布
- 数据保存在 data/traindata/ 和 data/validdata/ 目录

src/model.py

模型相关函数模块

- get_model: 获取模型, 并加载模型参数
- save_model: 保存模型参数

src/run.py

模型训练主程序

- 获取训练集dataloader
- 获取模型及加载训练参数
- 训练并保存参数于 param/ 目录

src/sevi_dataset.py

加载数据集模块

- 在训练集和验证集目录下搜索文件并读取
- 使用 torch.utils.data 的 Dataset 和 DataLoader 打包数据集

src/train_func.py

训练过程模块

- 定义loss函数与最终测试相同
- 分为 train 和 eval 过程, 将loss数据分别保存在 data/train_loss/ 和 data/valid_loss 目录下

util

util/detect_center_points.py

将荧光屏上的图像还原为电子的像素位置

- 判断图像中的极大值点(多个相同值相邻时只取一个点), 并根据极大值的大小及一定半径上最大值和最小值之差(也就是该点有多"圆")判断其代表的电子数目(一个极大值点最多代表三个电子)
- 对判断为两个电子或三个电子的点, 在极大值点附近通过寻找一定半径上的最大值方位来寻找电子位置
- 累加各张图得到的每个像素点的电子数, 并返回二维电子分布矩阵

util/gen_my_pic_double.py

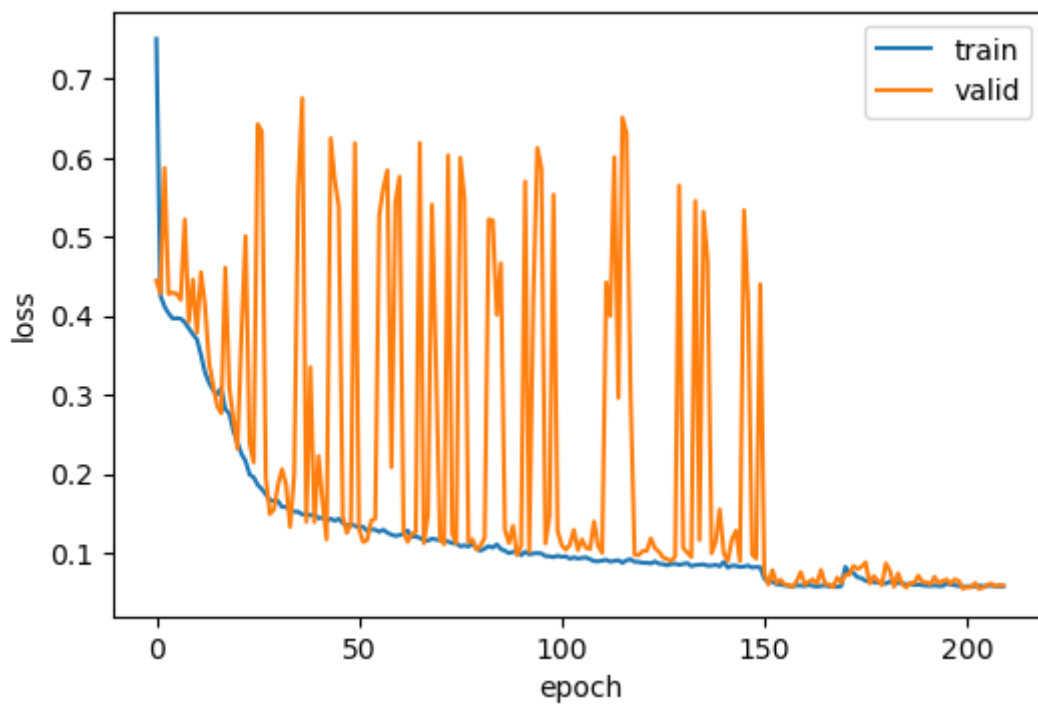
使用ITM方法, 利用给定的参数生成电子分布

- 利用输入的参数, 得到目标勒让德多项式以-1为下界的积分, 即 $\cos\theta$ 的累积分布函数(CDF)
- 对于该累积分布函数, 令 $\cos\theta$ 在(-1, 1)内截为1000000段, 计算每个自变量对应的函数值, 得到函数自变量和函数值的对应数组
- 生成 $U(0, 1)$, 作为累积分布函数的函数值以线性插值的方式映射回 $\cos\theta$, 以此实现累积分布函数的反函数。生成的 $\cos\theta$ 即满足要求的勒让德多项式分布
- 生成每个电子的半径 r 和 ϕ , 通过 $\cos\theta$, r 和 ϕ 得到电子的位置, 然后计算得到其对应的像素点。
- 累加每个像素点的电子数, 得到二维电子分布矩阵并输出

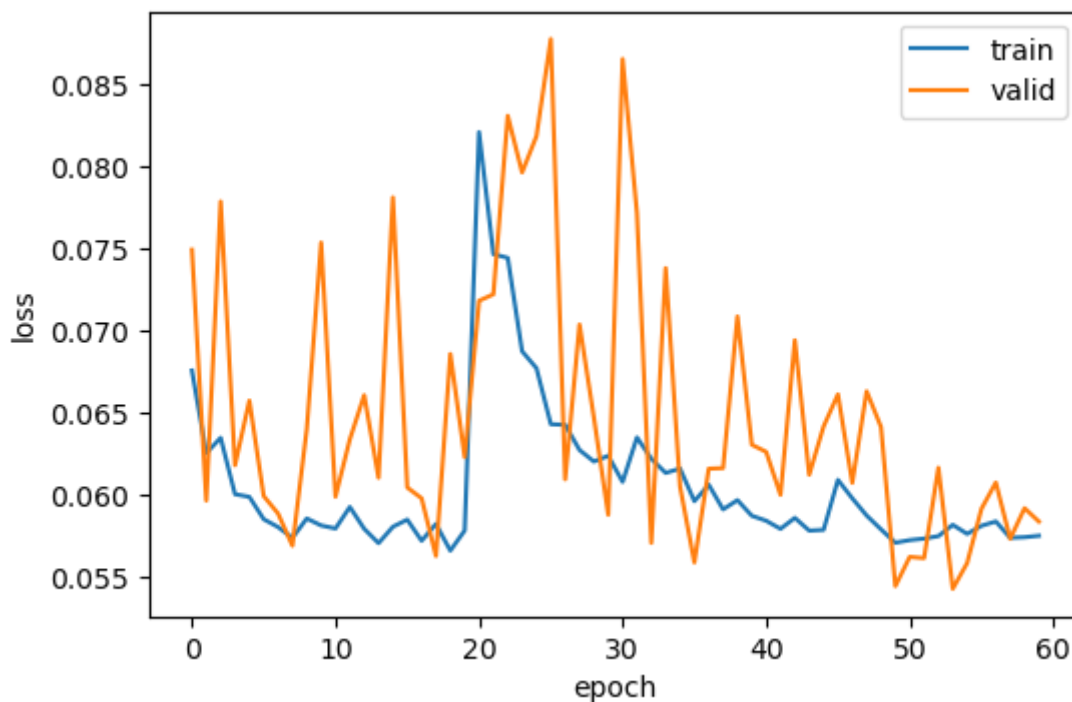
结果及分析

loss曲线

- epoch0-210



- epoch150-210



评分distance

平台测试结果为: 0.046

url: <https://physics-data.meow.plus/3adbce917b58>

id: 2468

分析

- 根据曲线可以发现loss在30epoch时已经平缓, 此时可以更早的使用fine-tuning数据集, 减少训练次数
- 前150个epoch的validloss波动极大, 可能是因为生成的数据集中, 半径是分别随机生成的, 存在半径十分接近的情况, 较难分辨. fine-tuning数据集中半径不会重叠.

- 最终loss稳定在0.055到0.065之间(双球壳), 对比测试结果0.046(单球壳), 存在较大偏差. 原因可能在于从测试集图片中分辨电子位置有较大误差, 因为存在两个光斑距离较近的情况, 从物理上都不可分辨.

可能的进一步实验

- 选择更好的神经网络模型
- 提升还原电子位置的能力

以上为实验报告

以下为思考过程的记录(时间顺序为从后向前)

6.计算结果, 第一次提交 v3.0

- 读取模型参数, 将上一阶段的结果归一化后乘以255作为输入

测试结果

- 初步测试结果为 **0.052**

5.识别测试集图片中的电子位置

- 根据高斯光斑特征还原电子打在MCP上的位置
- 将测试集转换为上阶段模型所需的输入图片

问题

- 处理50000张图片所需约4小时, 我们将数据分为10组, 分别处理后将结果相加

4.使用自己生成的训练集训练

- 使用自己生成的数据集进行训练

变化

- 进行了显卡内存优化
- 增大了batch_size
- 扩大了数据量, 生成近8000组训练集
- 实验发现resnet18模型的loss下降较稳定, 可能是增大了batch_size的原因, 所以换为resnet34进行训练, 希望得到更好效果

训练过程及结果

- resnet34 在50个epoch后即有明显下降
- 150个epoch后可以达到稳定, 我们定义的方式算出来的loss可以达到0.005
- trick:
由于内存限制, 不能生成过大数据集. 所以我们在模型稳定后, 不断生成一组新的数据集(约400)替换原有的数据并再跑5个epoch, 直到200个epoch后, loss可以降为0.003

3.生成自己的数据集

数据范围

- 我们统计了第二类数据集中的数据范围
 - beta参数: 使用正态分布生成, 对于超出范围的数据进行截断, 对每个球壳生成前12个参数

```
# beta分布参数
limit = [
    [0.35, 1],
    [0.43, 1.434],
    [0.25, 1.24],
    [0.118, 0.9],
    [0.045, 0.6],
    [0.012, 0.36],
    [0.0026, 0.2],
    [0.0004, 0.1],
    [7.0e-5, 0.045],
    [5.6e-6, 0.019],
    [1.2e-7, 0.0067],
    [2e-9, 0.0023]
]
mu = [1, 0.85, 0.55, 0.25, 0.1, 0.04, 0.015, 0.002, 0.004, 0, 0, 0]
sigma = [0.65, 0.5, 0.5, 0.5, 0.5, 0.3, 0.2, 0.1, 0.05, 0.02, 0.01, 0.01]
```

- 半径
 R 为 **0.3** 到 **0.9** 的均匀分布
 σ_R 为 **0.005** 到 **0.009** 的均匀分布
- 将数据按半径大小排列, 生成input-label对

2.第二次尝试: 双球壳 v2.0

数据集

- data/gen_pic_double.ipynb 文件, 生成 data_double.h5 数据文件
- 将初步尝试中的电子位置投射在 1024×1024 的矩阵上, 矩阵每个位置表示该位置有多少个电子打在上面.
- 将两个单球壳矩阵相加, 除以数量总和归一化, 再乘以255, 便于观察图像.
- 生成了3000个数据, 将1/10用作验证集

模型变化

- 将最后fc层输出变为24

训练效果

- 训练过程较单球壳慢, 约100个epoch后, loss下降到0.01以下
- 效果和单球壳的结果一样好, 可以平均化相对误差达到7%, 证明该模型有效.
- 平均化相对误差:

认为每个参数位置绝对误差相同, 根据平均loss计算得误差后, 除以0.7(与单球壳第一个个参数的数值相近)

可以作为模型好坏的评价标准

- 局限性:

1000个数据较少, 会导致模型泛化能力不够

由于数据点为1000个单球壳的组合, 验证集中会出现训练集的数据, 导致模型过拟合,

下一步尝试自己生成数据集

(模型训练过于复杂, 未完整保存过程)

1.第一次尝试 v1.0

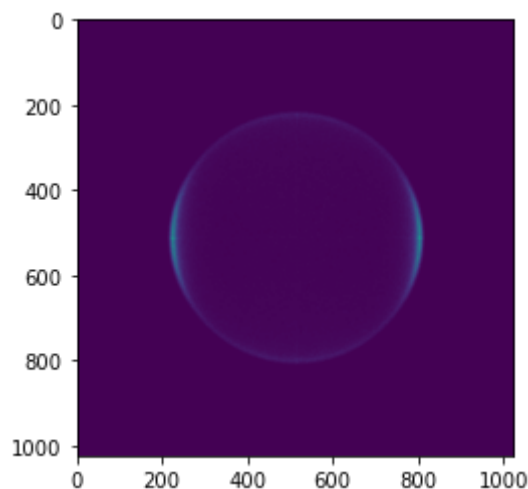
将第二类数据集的每个球壳(能级)的电子找出来, 复原为图像, 从图像中识别分布信息

先尝试从单球壳中求分布

数据名

原始数据为 `train{num}.h5`, 将电子位置,半径,球壳的beta存为 `dataset_{num}.h5`

单球壳图像:



训练模型

使用 torchvision 的 resnet 模型, 包括18, 34, 101

模型

将resnet输入通道变为1, 最后线性层fc变为(512,12), 即最后输出为12个参数, 对应单球壳的beta分布前12个参数

loss函数

loss函数定义如下:

```
def loss_func(input, label):  
    rate = 2/(np.array(range(1,13))*4+1)  
    rate = torch.Tensor(rate)  
    delta = input - label  
    return torch.sum(torch.sum((delta**2 * rate),dim=1))/len(input)
```

即相比于评测函数, 这里少了求平方根的一步

两种评估对比较结果好坏是近乎相同的, 但这里计算量更小

训练方式

将第二类训练集的1000种数据分为训练集(900)和验证集(100)

由于训练过程较长, epoch较多, 训练过程并未保存完全, 大致情况为:

resnet18:

训练所需epoch较多, 在50个epoch之后loss偶有下降到0.01以下, 200个epoch后能下降到1e-5以下

resnet34,101:

100个epoch不能看出明显下降, 故放弃训练

评估

我认为单球壳的结果表明模型能提取到分布信息.

根据loss结果, 平均到每个参数, 误差可以小于5%.

下一步可以将两个球壳合并进行训练